

東北大学 学生員 ○姚義久
同 正員 柳沢栄司

1. まえがき

凍結に伴う土圧の増加や、凍上圧によるタンクの変位など、土の凍結の問題が急速に注目を浴びて来て^①3が、北海道や東北地方のようなわざる季節凍土地帯では、従来から自然凍結による凍上や凍害が起こっており、道路や建物また地下導管などの建設に当たっては、凍上対策が行なわれて^②3。凍害の一因には土が凍結-融解作用をくり返して受けた軟弱化するため、支持力が低下し、道路の舗装、路肩、路盤などに生ずる例がある。従来凍結-融解を受けた土の軟弱化現象に関しては多くの研究例が挙げられてきたが^③3、凍結-融解を受けた土の力学的性質^④について、十分な検討は行なわれて^⑤3のが現状である。そこで、本研究は凍結-融解による粘性土の強度特性と圧密特性について、closed-systemで三軸試験(CU)と圧密試験を行ない、凍結-融解のサイクル数を変えた供試体についてその力学的性質の変化を検討したので、その結果について報告する。

2. 実験概要

実験に用いた試料は青葉山ロームを採取したもので、乾燥した後に粉砕し、2.0 mm フィルトを通過したものである。乾燥した供試体を作成するために、蒸解してから、試料を直径15 cm、高さ30 cmの圧密装置で、先行圧密圧力2.05 kgf/cm²で約二週間圧密した。この時の試料の物理的性質は表-1のとおりであり、日本統一土質分類ではCLとなる。この試料は砂分46%、シルト分11%、粘土分43%、含水比33.5%であり、割合にシルト分の少ない、含水比の低い低塑性の粘性土であることをどうやら、凍上や凍結-融解の影響を比較的受けにくく土質である。この試料を四等分に切り出し、所要のサイクル数の凍結-融解を与えた後、直徑5 cm、高さ12.5 cmの円筒供試体を作成し、圧密非排水状態で試験を行なったと共に圧密試験も行なった。なお比較のために凍結-融解を受けない供試体についても同様の試験を行なった。

凍結-融解を与えた方法は、試料を外部からの水分の供給がないようにして、-18°Cで24時間凍結し、その後20°Cに保った恒温恒湿槽で24時間融解する。この行程を1サイクルとした。

3. 実験結果及び考察

3-1 凍結-融解を受けた土の強度特性

凍結-融解を受けた供試体と受けない供試体のCU試験における $\sigma_3 = 1.0 \text{ kgf/cm}^2$ の時の軸差応力とひずみの関係を示すと、図-1のようになる。不凍結供試体はピーク値不明瞭な塑性的な破壊を示すのにに対して、凍結-融解を受けた供試体はピーク値を持つ脆性的な破壊を示すことが分かる。ピーク強度とその時のひずみの関係を求めてみると、ピーク強度に至るひずみ量は1サイクルより3サイクルの方が小さくなることが分かる。従って供試体が凍結-融解を受けると、軸差応力の最大値は、凍結-融解の回

表-1 試料の土性値

G_s	w_L (%)	I_p	σ_{10} (kgf/cm ²)	σ_{50} (kgf/cm ²)	σ_{90} (kgf/cm ²)
2.71	48.8	22.6	0.0002	0.018	0.14
	w_f (%)	γ_e (g/cm^3)	e	τ_e (cm/sec)	
	33.4~33.6	1.81~1.88	0.92~0.95	2.07×10^{-5}	

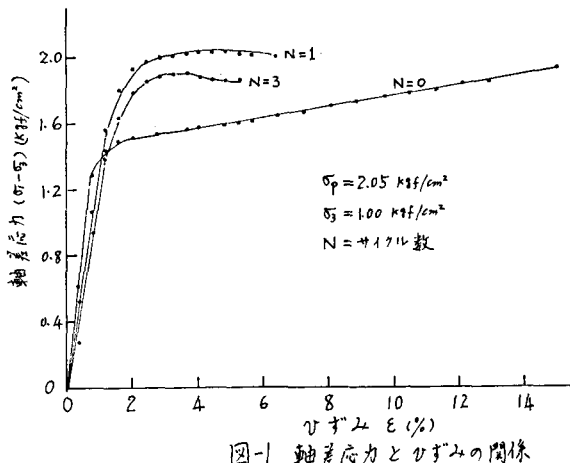


図-1 軸差応力とひずみの関係

数に依存して低下する。これは水晶が成長する時に、土粒子配列の変化、土壤固結化などにより引起し、一部の間隙を押し広げた作用である。このため凍結-融解土の強さは低下し、融解させても元の状態に回復できず、全体として軟弱な状態のまま次の凍結-融解サイクルに入りため、また同じ作用がくり返されて、その強さは累加的に低下していくものと考えられる。従って前述のよう凍上や凍結-融解の影響を比較的受けにくい土質であっても、低荷重圧の場合には凍結-融解作用による強度低下が顕著ではあるが見られる。closed-system の凍結では、水の出入りがないために、水の凍結による土粒子構造への作用が小さいので強度の変化は比較的小さい。凍結-融解を受けた供試体と受けない供試体の C-U 試験における応力経路を示すと、図-2 のようになる。全応力と有効応力の関係とともに、凍結-融解作用による粘着力はサイクル数においてあまり変化しない。しかし内部摩擦角はサイクル数を増加するにつれてやや小さくなる。これは前述した原因のほか、シルトの含有量が少ないと考えられる。

3-2 凍結-融解を受けた土の圧密特性

凍結-融解作用を受けた土の土粒子構造の変化を明確にするために、凍結-融解後に圧密試験を行なった。図-3 に示すように凍結-融解後の土の e-log₁₀P 曲線については、圧密係数 C_c がサイクル数を増加するにつれて大きくなり、圧密強度応力 P_c の低下も生じる。なお C-U 試験における (σ₁-σ₃)_{max} 時の間隙圧係数 A_f を求め、A_f と圧密圧力 P_c の関係は図-4 のようになる。P_c の上昇と共に A_f は増加しており、その値は特に G₃=0.5, 1.0 kgf/cm² の場合、サイクルより 3 サイクルの方が大きくなっている。これは凍結-融解作用により圧密強度応力が低下し、過圧密状態から正規圧密状態に移行していくからと考えられる。

4. あとがき

以上のことをまとめると、(1)応力へひずみ関係より不凍結土はピーク値不明瞭な塑性的破壊を示すが、凍結-融解土は脆性的な破壊を示す。相対応力はサイクル数に依存して低下する。(2)全応力と有効応力とも粘着力はサイクル数によってあまり変化しないが内部摩擦角は小さくなる。(3)凍結-融解作用により過圧密状態から正規圧密状態に移行していく。なお本研究をすこし振り返り、中央開発省仙台支店長大野啓旦氏には研究面で色々お世話をいただいたことを託し謝意を表します。

参考文献：①青山、小川、福田“凍結-融解を受けた土の力学的性質” 土木学会第34回年次学術講演会概要集

②福田、小川“凍土の発達機構と凍結-融解後の土の性質” 第17回国賀土工学研究発表会

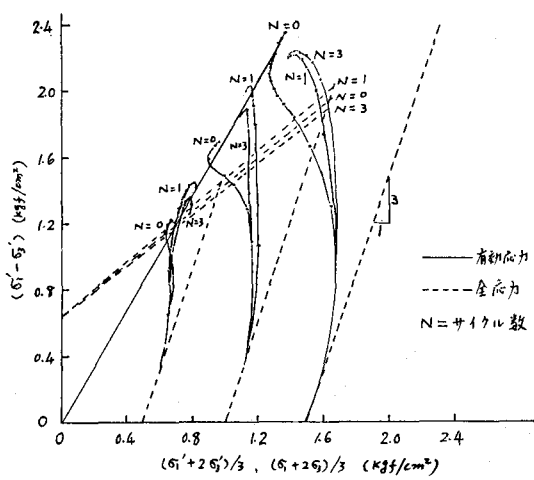


図-2 C-U 試験応力経路

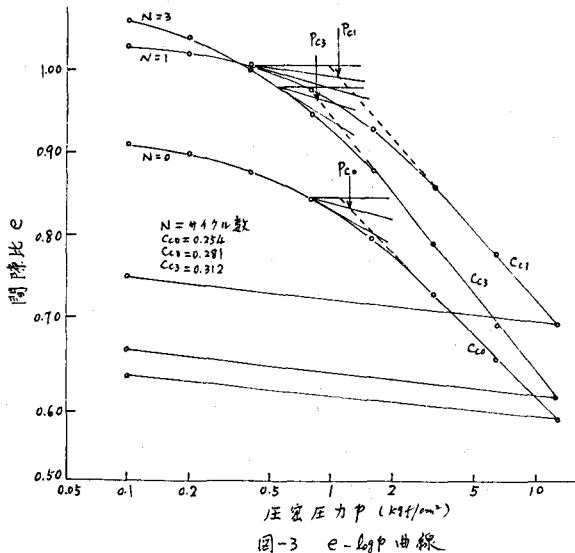


図-3 e-log P 曲線

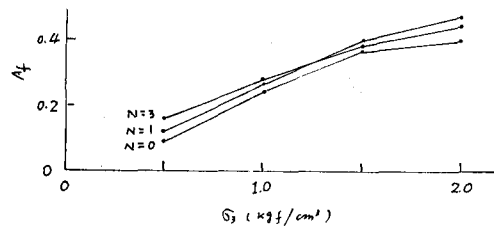


図-4 間隙圧係数と圧密圧力との関係